

Starkniederschlagshöhen und -spenden gemäß KOSTRA-DWD-2010R

Auswertungszeitraum von 1951 - 2010, Januar - Dezember

Rasterfeld: 19046

Zeile: 19

Spalte: 46

Seite: 1/2

| Dauerstufe D | Wiederkehrzeit T | | | | | | | | | | | | | | | | | | |
|--------------|------------------|------|------------|------|------------|------|------------|------|------------|------|------------|------|------------|------|------------|------|------------|-------|------------|
| | 1 a | | 2 a | | 3 a | | 5 a | | 10 a | | 20 a | | 30 a | | 50 a | | 100 a | | |
| min | Std | mm | l / (s ha) | mm | l / (s ha) | mm | l / (s ha) | mm | l / (s ha) | mm | l / (s ha) | mm | l / (s ha) | mm | l / (s ha) | mm | l / (s ha) | mm | l / (s ha) |
| 5 | | 4,8 | 160,0 | 6,2 | 206,7 | 7,0 | 233,3 | 8,0 | 266,7 | 9,4 | 313,3 | 10,8 | 360,0 | 11,6 | 386,7 | 12,6 | 420,0 | 14,0 | 466,7 |
| 10 | | 7,7 | 128,3 | 9,7 | 161,7 | 10,8 | 180,0 | 12,2 | 203,3 | 14,2 | 236,7 | 16,1 | 268,3 | 17,2 | 286,7 | 18,7 | 311,7 | 20,6 | 343,3 |
| 15 | | 9,7 | 107,8 | 12,1 | 134,4 | 13,4 | 148,9 | 15,2 | 168,9 | 17,5 | 194,4 | 19,9 | 221,1 | 21,3 | 236,7 | 23,0 | 255,6 | 25,4 | 282,2 |
| 20 | | 11,1 | 92,5 | 13,8 | 115,0 | 15,4 | 128,3 | 17,4 | 145,0 | 20,2 | 168,3 | 22,9 | 190,8 | 24,5 | 204,2 | 26,5 | 220,8 | 29,2 | 243,3 |
| 30 | | 13,0 | 72,2 | 16,3 | 90,6 | 18,3 | 101,7 | 20,7 | 115,0 | 24,0 | 133,3 | 27,3 | 151,7 | 29,3 | 162,8 | 31,7 | 176,1 | 35,0 | 194,4 |
| 45 | | 14,7 | 54,4 | 18,7 | 69,3 | 21,1 | 78,1 | 24,1 | 89,3 | 28,1 | 104,1 | 32,2 | 119,3 | 34,5 | 127,8 | 37,5 | 138,9 | 41,5 | 153,7 |
| 60 | | 15,7 | 43,6 | 20,4 | 56,7 | 23,1 | 64,2 | 26,5 | 73,6 | 31,2 | 86,7 | 35,8 | 99,4 | 38,5 | 106,9 | 41,9 | 116,4 | 46,6 | 129,4 |
| 90 | | 17,0 | 31,5 | 22,0 | 40,7 | 25,0 | 46,3 | 28,7 | 53,1 | 33,8 | 62,6 | 38,9 | 72,0 | 41,9 | 77,6 | 45,6 | 84,4 | 50,7 | 93,9 |
| 120 | 2 | 17,9 | 24,9 | 23,3 | 32,4 | 26,5 | 36,8 | 30,5 | 42,4 | 35,9 | 49,9 | 41,2 | 57,2 | 44,4 | 61,7 | 48,4 | 67,2 | 53,8 | 74,7 |
| 180 | 3 | 19,4 | 18,0 | 25,3 | 23,4 | 28,7 | 26,6 | 33,0 | 30,6 | 38,9 | 36,0 | 44,8 | 41,5 | 48,3 | 44,7 | 52,6 | 48,7 | 58,5 | 54,2 |
| 240 | 4 | 20,5 | 14,2 | 26,7 | 18,5 | 30,4 | 21,1 | 35,0 | 24,3 | 41,3 | 28,7 | 47,5 | 33,0 | 51,2 | 35,6 | 55,8 | 38,8 | 62,1 | 43,1 |
| 360 | 6 | 22,1 | 10,2 | 29,0 | 13,4 | 33,0 | 15,3 | 38,0 | 17,6 | 44,8 | 20,7 | 51,6 | 23,9 | 55,6 | 25,7 | 60,7 | 28,1 | 67,5 | 31,3 |
| 540 | 9 | 23,9 | 7,4 | 31,4 | 9,7 | 35,7 | 11,0 | 41,2 | 12,7 | 48,7 | 15,0 | 56,1 | 17,3 | 60,5 | 18,7 | 65,9 | 20,3 | 73,4 | 22,7 |
| 720 | 12 | 25,3 | 5,9 | 33,2 | 7,7 | 37,8 | 8,8 | 43,7 | 10,1 | 51,6 | 11,9 | 59,5 | 13,8 | 64,1 | 14,8 | 70,0 | 16,2 | 77,9 | 18,0 |
| 1080 | 18 | 27,3 | 4,2 | 36,0 | 5,6 | 41,0 | 6,3 | 47,4 | 7,3 | 56,0 | 8,6 | 64,7 | 10,0 | 69,7 | 10,8 | 76,1 | 11,7 | 84,7 | 13,1 |
| 1440 | 24 | 28,9 | 3,3 | 38,1 | 4,4 | 43,5 | 5,0 | 50,2 | 5,8 | 59,4 | 6,9 | 68,6 | 7,9 | 74,0 | 8,6 | 80,7 | 9,3 | 89,9 | 10,4 |
| 2880 | 48 | 34,7 | 2,0 | 44,5 | 2,6 | 50,2 | 2,9 | 57,4 | 3,3 | 67,2 | 3,9 | 76,9 | 4,5 | 82,6 | 4,8 | 89,8 | 5,2 | 99,6 | 5,8 |
| 4320 | 72 | 38,7 | 1,5 | 48,8 | 1,9 | 54,7 | 2,1 | 62,2 | 2,4 | 72,2 | 2,8 | 82,3 | 3,2 | 88,3 | 3,4 | 95,7 | 3,7 | 105,8 | 4,1 |

Angaben in mm: Bemessungsniederschlagswerte h(n)

Angaben in l / (s ha): Regenspende R(n) mit $R(n) = h(n) \times 1,666667 / D[\text{min}]$

Toleranzbereiche:

+/- 10 % für $1 \text{ a} \leq T \leq 5 \text{ a}$

+/- 15 % für $5 \text{ a} < T \leq 50 \text{ a}$

+/- 20 % für $50 \text{ a} < T \leq 100 \text{ a}$

Datenbasis: KOSTRA-DWD-2010R des Deutschen Wetterdienstes. Die Regenspende wurde auf Basis des Bemessungsniederschlags zur jeweiligen Andauer berechnet.

Für die Richtigkeit und Aktualität der Angaben wird keine Gewähr übernommen. Erstellt 07/2022.

Starkniederschlagshöhen und -spenden gemäß KOSTRA-DWD-2010R

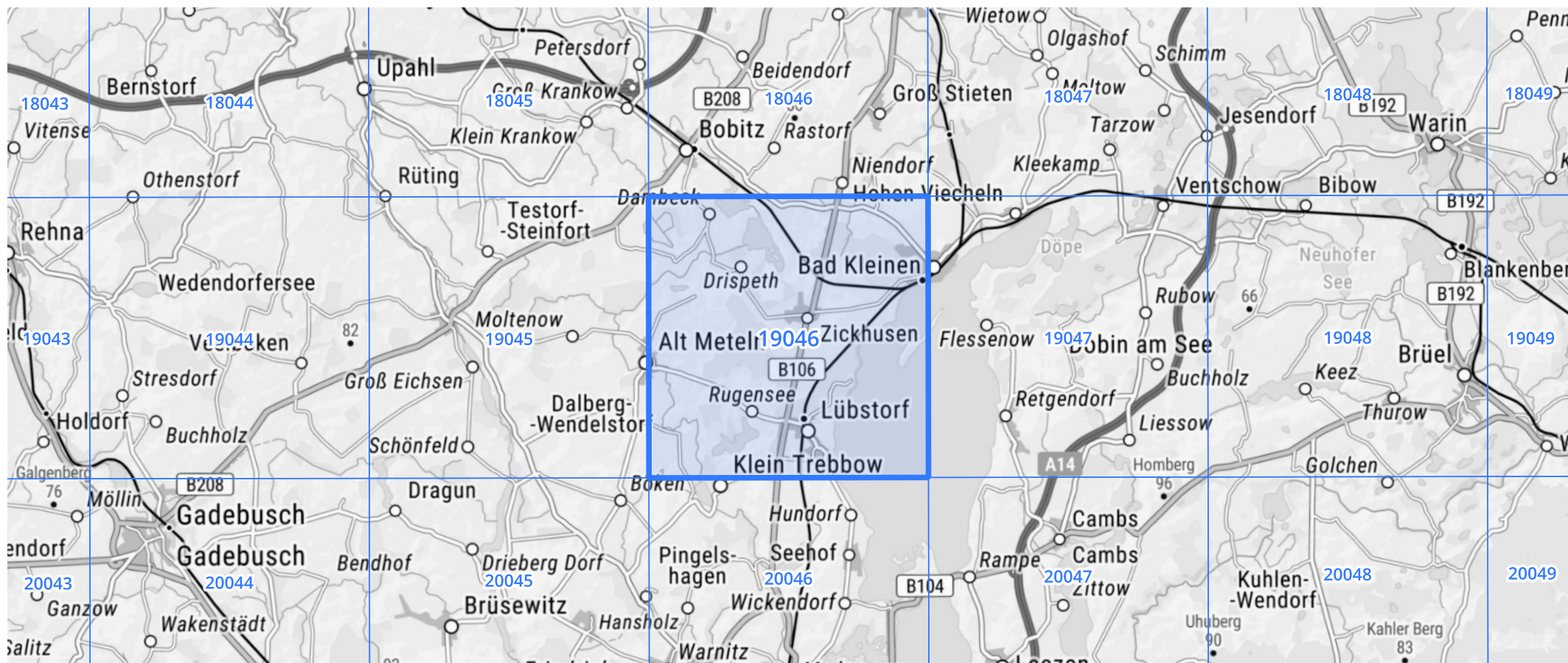
Auswertungszeitraum von 1951 - 2010, Januar - Dezember

Rasterfeld: 19046

Zeile: 19

Spalte: 46

Seite: 2/2



Quelle Rasterdaten: KOSTRA-DWD-2010R des Deutschen Wetterdienstes.

Kartendarstellung: © Bundesamt für Kartographie und Geodäsie (2022), Datenquellen: https://sgx.geodatenzentrum.de/web_public/gdz/datenquellen/Datenquellen_TopPlusOpen.html

Für die Richtigkeit und Aktualität der Angaben wird keine Gewähr übernommen. Erstellt 07/2022.